

## Список літератури

1. Зуев Н.М. Методика исследования качества работы свеклоуборочных машин. – К.: ВНИС. – 72 с.
2. Сипливець О.О. Обґрунтування конструктивно-технологічних параметрів гичкозбиральної машини: Автореф. дис... канд. техн. наук: 05.05.11 / Національний аграрний університет. – К., 2005. – 20 с.
3. Погорелый Л.В., Татьянко Н.В. Свеклоуборочные машины: история, конструкция, теория, прогноз. – К.: Феникс, 2004. – 231 с.
4. Василенко П.М. Введение в земледельческую механику. К.: Сільгоспсвіта, 1996. – 252 с.
5. Булгаков В.М. Теорія бурякозбиральних машин. Монографія. – Київ: Видавничий центр НАУ, 2005. – 245 с.

*І. Головач, В. Присяжный*

### **Потери ботвы сахарной свеклы роторным ботворежущим аппаратом**

Аналитически исследованы потери ботвы сахарной свеклы при колебаниях роторного ботвоуборочного аппарата в продольно-вертикальной плоскости, который осуществляет сплошной срез зеленой массы свекловичного поля.

*I. Holovach, V. Prysyazhnyi*

### **Analytical definition of losses of a tops of vegetable at device fluctuations which cuts off a tops of vegetable of a sugar beet**

*Are analytically investigated the losses of the vegetable tops of sugar beet with the fluctuations of the rotary apparatus in the longitudinal- vertical plane, which accomplishes continuous shear of the foliage of beet-root field.*

Одержано 12.10.12

**УДК 631.365**

**Б.І. Котов, д-р техн. наук**

*Національний університет біоресурсів і природокористування України*

**Р.А. Калініченко, канд. техн. наук**

*ВП університет біоресурсів і природокористування України «Ніжинський агротехнічний інститут»*

**М.І. Ліпунов, ст. наук. співр.**

*Національний науковий центр «ІМЕСГ»*

## **Аналітичне визначення динамічних тепловологіческих режимів зерносушарок безперервної дії**

Отримано аналітичні залежності для визначення параметрів процесу сушіння на виході зерносушарки.

**математична модель, системи автоматичного керування, сушіння зерна**

**Сутність проблеми.** Процеси термообробки зерна і насіння (попереднє нагрівання, сушіння, охолодження) в поточних лініях післязбиральної обробки супроводжується значними затратами енергії, які суттєво збільшують собівартість продукції.

Одним із перспективних напрямків ефективного використання паливно-енергетичних ресурсів без значних капіталовкладень є проведення процесів термообробки в оптимальних енергозберігаючих режимах. Однак практична реалізація цих режимів стримується такою обставиною, як недосконалість системи керування процесом, що обумовлено відсутністю простоти, але адекватної формалізації тепломасообмінних процесів в поточних установках безперервної дії.

Велике різноманіття технологічних схем і конструкцій апаратів з конвективним підведенням теплоти до матеріалу спонукає застосовувати різні математичні моделі в залежності від цілі їх застосування. При цьому кожний апарат описано певною математичною моделлю, що обмежує загальний аналіз процесів і виявлення напрямків вдосконалення апаратурного оформлення процесів і систем керування ними.

Необхідність інтенсифікації, оптимізації і автоматизації технологічних процесів обумовлюють подальше вдосконалення фізично обґрунтovаних математичних моделей.

**Аналіз публікацій та досліджень.** Існуючі методи аналізу процесів термообробки дисперсних матеріалів ґрунтуються на попередній інформації про механізми кінетики сушіння, нагріву, охолодження окремих частинок яка отримується із модельних уявлень або з дослідних даних [1, 2]. В більшості наукових праць [1–3] приймається, що градієнти вологовмісту і температури незначні (із-за малих розмірів частинок) і лімітуючими факторами стадій процесу є тільки зовнішній тепло- і масообмін.

Вважається [4], що при такому припущення камери термообробки вологого матеріалу можна розглядати як проточний рекуператор, в якому поверхня тепло- і масообміну є сумарна поверхня дисперсного матеріалу, що знаходиться в апараті. Базуючись на результатах експериментів, обґрунтовано [5–6] припущення, що при нагрівання зерна вологовміст поверхні вищий від гігроскопічного і за вихідну фізичну модель прийнято процес випаровування з вільної поверхні, рухомою силою якого є різниця пружності водяної пари на поверхні зерна і в повітрі, або ж різниця концентрацій водяної пари [2].

Для моделювання тепло- і масообміну в рухомому шарі зерна найчастіше використовують спрощений механізм процесів, які можна описати узагальненою системою рівнянь [2–3]:

$$\begin{aligned} \frac{\partial U}{\partial \tau} + 3600 \frac{\partial U}{\partial x} v_3 &= -\beta_v m \frac{76}{\rho_3 \varepsilon b} (P_u - P_T); \\ \frac{\partial t}{\partial \tau} \pm 3600 v_T \frac{\partial t}{\partial x} &= -\alpha_v \frac{\rho_3}{\rho_T \delta C_T} (t - \theta); \\ \frac{C_3 \rho_3}{\rho_T \delta C_T} \left( \frac{\partial \theta}{\partial \tau} + 3600 v_3 \frac{\partial \theta}{\partial x} \right) + \frac{\rho_3 r}{100 \rho_T C_T \delta} \left( \frac{\partial U}{\partial \tau} + 3600 v_3 \frac{\partial U}{\partial x} \right) &= -\frac{\alpha_v \rho_3}{\rho_T C_T \delta} (t - \theta); \\ \frac{\partial d}{\partial \tau} \pm 3600 v_T \frac{\partial d}{\partial x} &= -\frac{10 \rho_3}{\rho_T \delta} \left( \frac{\partial U}{\partial t} + 3600 v_3 \frac{\partial U}{\partial \tau} \right). \end{aligned} \quad (1)$$

В рівняння (1) і в подальших випадках використані такі умовні позначення:  $U$ ,  $d$  – вологовміст зерна і газового теплоносія;  $\theta$ ,  $t$  – температура зерна і теплоносія;  $\alpha_v$ ,  $\beta_v$  – коефіцієнти теплообміну і вологовообміну;  $v_3$ ,  $v_T$  – швидкість зерна і теплоносія;  $\varepsilon$  – відношення об'єму зерна до поверхні і порозність шару;  $\rho_3$ ,  $\rho_T$  – густина зерна і теплоносія;  $P_3$ ,  $P_T$  – пружність водяної пари зерна і теплоносія;  $C_3$ ,  $C_T$  – питома теплоємність зерна і теплоносія;  $r$  – питома теплота пароутворення.

Аналітичний розв'язок такої системи отримати неможливо, тому для опису динаміки змінення параметрів процесу рішення (1) представляють у вигляді передаточних функцій для різних каналів [1]. Але оскільки вони трансцендентні, необхідно знаходити досить точні наближення, що ускладнює подальший аналіз і розрахунки параметрів систем автоматичного керування (САК).

**Мета роботи** полягає у встановлені основних закономірностей змінення вологості і температури зерна і сушильного агента в процесі сушіння, які можна буде використовувати для синтезу систем керування зерносушарками неперервної дії.

**Результати досліджень.** Оскільки математична модель створюється для розробки і синтезу САК процесом сушіння то практичний інтерес являє динаміка зміни параметрів матеріалу (зерна) і сушильного агента на виході із сушильної камери.

Визначення динамічних характеристик вихідних параметрів можна спростити якщо з системи рівнянь (1) виключити похідні по координаті ( $x$ ), замінивши їх кінцевими величинами параметрів; тобто  $\frac{dx}{dh} \approx \frac{\Delta X}{\Delta H} \approx \frac{x_2 - x_1}{H}$ , де  $H$  – висота сушильної камери, тоді систему (1) можна представити так:

$$m_T C_T \frac{dt}{d\tau} = Q_{T1} - Q_{T-np} - Q_{T2} - Q_{o.c.}, \quad (2)$$

$$m_z C_z \frac{d\theta}{d\tau} = Q_{z1} - Q_{T-np} - Q_{sun} - Q_{z2}, \quad (3)$$

$$m_z \frac{dU}{d\tau} = W_{z1} - W_{sun} - W_{z2}, \quad (4)$$

$$m_T \frac{dd}{d\tau} = W_{T1} + W_{sun} - W_{T2}, \quad (5)$$

де  $Q_{T1}$ ,  $Q_{T2}$  – кількість теплоти, що відповідно вноситься і виносиється теплоносієм із сушильної камери в одиницю часу;

$Q_{z1}$ ,  $Q_{z2}$  – кількість теплоти що відповідно вноситься і виносиється зерном із сушильної камери в одиницю часу;

$Q_{T-np}$  – кількість теплоти, що передається конвенцією від теплоносія до продукту;

$Q_{sun}$  – кількість теплоти, що витрачається на випаровування вологи, і передається в оточуюче середовище;

$W_{z1}$ ,  $W_{T1}$  – кількість вологи, що вноситься в сушильну камеру відповідно зерном і теплоносієм в одиницю часу;

$W_{z2}$ ,  $W_{T2}$  – кількість вологи, що виносиється із сушильної камери зерном і теплоносієм одиницю часу;

$W_{sun}$  – кількість вологи, що випаровується із зерна за одиницю часу.

Окремі складові в рівняннях (2–4) визначаються очевидними співвідношеннями і рівняннями теплообміну і масообміну:

$$\begin{aligned} Q_{T1} &= G_T C_T t_1; \quad Q_{T2} = G_T C_T t_2; \quad Q_{z1} = G_z C_z t_1; \quad Q_{z2} = G_z C_z t_2; \\ Q_{T-np} &= \alpha f(\bar{t} - \bar{\theta}); \quad Q_{sun} = G_0 r \frac{dU}{d\tau}; \quad \frac{dU}{d\tau} G_z = f \beta (P_s(\theta) - P_T(d)); \\ W_{z1} &= G_z U_1; \quad W_{z2} = G_z U_2; \quad W_{T1} = G_T d_1; \quad W_{T2} = G_T d_2; \\ \bar{t} &= 0,5t_1 + 0,5t_2; \quad \bar{\theta} = 0,5\theta_1 + 0,5\theta_2. \end{aligned} \quad (6)$$

Математичну модель апарату для термообробки зерна в рухомому шарі знайдемо у вигляді рівнянь динаміки змінення параметрів теплоносія і зерна на виході камери, підставляючи значення (6) в (2–5). Оскільки всі процеси термообробки супроводжуються видаленням вологи, то отримана математична модель може бути використана для опису динаміки видалення вологи в сушарці безперервної дії.

Стосовно процесу конвективного сушіння зерна в рухомому шарі математична модель сформульована так:

$$m_T C_T \frac{dt_2}{d\tau} = G_T C_T (t_1 - t_2) - \alpha f (\bar{t} - \bar{\theta}); \quad (7)$$

$$m_z C_z \frac{d\theta_2}{d\tau} = G_z C_z (\theta_1 - \theta_2) + \alpha f (\bar{t} - \bar{\theta}) - r G_0 \frac{dU_2}{d\tau}; \quad (8)$$

$$m_z \frac{dU_2}{d\tau} = G_z (U_1 - U_2) - \beta f (P_S(\theta) - P_T(d)); \quad (9)$$

$$m_T \frac{dd_2}{d\tau} = G_T (d_1 - d_2) + \beta f (P_S(\theta) - P_T(d)). \quad (10)$$

Для замикання системи рівнянь (7–10) використовуємо лінійну апроксимацію залежностей:

$$P_S(\theta) = a\bar{\theta} - C, \quad P_T(d) = b\bar{d}. \quad (11)$$

Використовуючи критерій Ребіндра  $Rb = \frac{C_z}{r} \frac{d\bar{\theta}}{d\bar{U}}$  зробимо заміну:

$$\frac{dU_2}{d\tau} = \frac{C_z}{rRb} \frac{d\theta}{d\tau}. \quad (12)$$

З урахуванням критерію Ребіндра і середніх значень  $\bar{t}$  і  $\bar{\theta}$  представимо рівняння (7–8) у вигляді:

$$T_1 \frac{d\theta_2}{d\tau} + a_1 \theta_2 - b_1 = t_2, \quad (13)$$

$$T_2 \frac{dt_2}{d\tau} + a_2 t_2 - b_2 = \theta_2, \quad (14)$$

В рівняннях (13–14) позначено:

$$T_1 = \frac{m_z C_z}{\alpha f} \left( 1 - Rb^{-1} \right); \quad a_1 = \frac{2G_z C_z}{\alpha f} + 1; \quad b_1 = t_1 + \left( \frac{2C_z G_z}{\alpha f} - 1 \right) \theta_1,$$

$$T_2 = \frac{m_T C_T}{\alpha f}; \quad a_2 = \frac{2G_T C_T}{\alpha f} + 1; \quad b_2 = \theta_1 + \left( \frac{2G_T C_T}{\alpha f} - 1 \right) t_1.$$

Розв'язок системи (13–14) відносно  $\theta_2(t)$  і  $t_2(\tau)$  при початкових умовах:  $\tau = 0$ ;  $\theta_2 = \theta_{20}$ ;  $\frac{d\theta_2}{d\tau} = 0$ ;  $t_2 = t_{20}$ ;  $\frac{dt_2}{d\tau} = 0$  отримаємо у вигляді:

$$\theta_2(\tau) = \frac{\theta_{20}C - D_1}{C(r_1 - r_2)} (r_1 e^{r_2 \tau} - r_2 e^{r_1 \tau}) + \frac{D_1}{C}, \quad (15)$$

$$t_2(\tau) = \frac{t_{20}C - D_2}{C(r_1 - r_2)} (r_1 e^{r_2 \tau} - r_2 e^{r_1 \tau}) + \frac{D_2}{C}, \quad (16)$$

$$r_{1,2} = \frac{-B \pm \sqrt{B^2 - 4AC}}{2A}; \quad C = a_1 a_2 - 1; \quad D_1 = b_2 + a_2 b_1; \quad D_2 = b_1 + a_1 b_2; \quad A = T_1 T_2;$$

$$B = a_1 T_2 + a_2 T_1.$$

Підставляючи в рівняння (9) значення  $P_s(\bar{\theta})$  та  $P_T(d)$  із (11) і значення  $d_2$  з рівняння матеріального балансу:

$$d_2 = \frac{G_0 \cdot 10^3}{G_T} (U_1 - U_2) + d_1, \quad (17)$$

після перетворення будемо мати:

$$m \frac{dU_2}{d\tau} + N U_2 = M + k_1 e^{r_1 \tau} - k_2 e^{r_2 \tau}, \quad (18)$$

$$\text{де } k_1 = 0,5\beta f a \frac{r_2(\theta_{20} - D_1)}{C(r_1 - r_2)}, \quad k_2 = 0,5\beta f a \frac{r_1(\theta_{20} - D_1)}{C(r_1 - r_2)}, \quad N = G_0 \left( 1 + \frac{0,5\beta f b}{G_T} \right) \cdot 10^3;$$

$$M = G_0 \cdot 10^3 \left( 1 + \frac{0,5\beta f b}{G_T} \right) U_1 + \beta f (b d_1 - 0,5 a \theta_1 + c).$$

Розв'язок неоднорідного рівняння (18) визначили при початкових умовах  $\tau = 0; U_2 = U_{20}$ :

$$U_2(\tau) = C_1 e^{-k\tau} + \frac{M}{N} + \frac{k_1 e^{r_2 \tau}}{mr_1 + N} - \frac{k_2 e^{r_1 \tau}}{mr_2 + N}, \quad (19)$$

$$\text{де } C_1 = U_{20} - \frac{M}{N} - \frac{k_1}{mr_1 + N} + \frac{k_2}{mr_2 + N}; \quad k = \frac{N}{m}.$$

Використовуючи залежності (11) і (15) перепишемо рівняння (10) у вигляді:

$$m_T \frac{dd_2}{d\tau} + N_1 d_2 = M_1 + k_2 e^{r_2 \tau} - k_1 e^{r_1 \tau}. \quad (20)$$

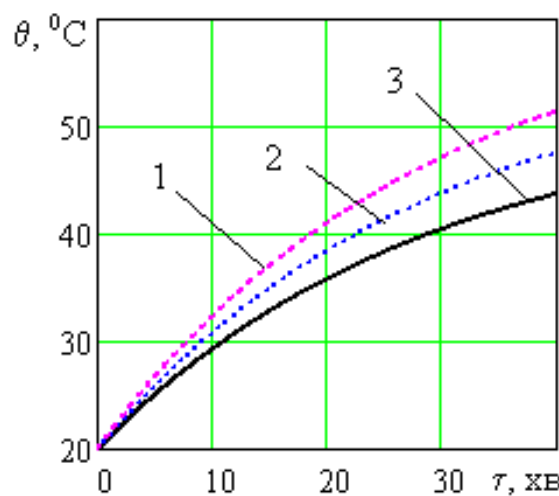
Розв'язок рівняння (20) за початкових умов:  $\tau = 0; d_2 = d_{20}$  запишемо у вигляді:

$$d_2 = C_2 e^{-k'\tau} + \frac{M_1}{N_1} + \frac{k_2}{m_T r_2 + N_1} - \frac{k_1}{m_T r_1 + N_1}, \quad (21)$$

$$\text{де } C_2 = d_{20} + \frac{M_1}{N_1} + \frac{k_2}{m_T r_2 + N_1}; \quad M_1 = (G_T - 0,5\beta f b) d_1 + \beta f (0,5a\theta_1 - C); \\ N_1 = G_T + 0,5\beta f b; k' = \frac{N_1}{m_T}.$$

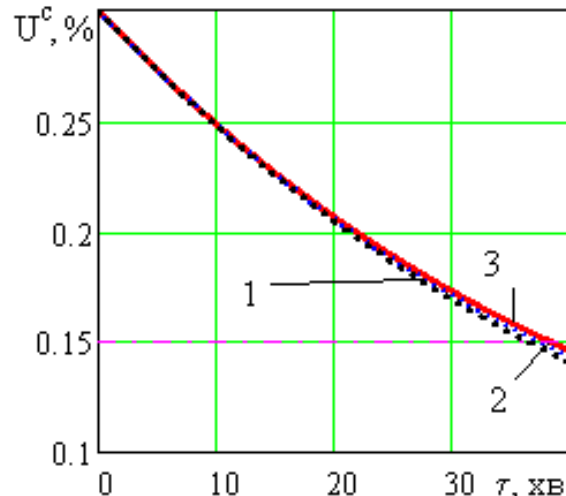
Отримані рівняння (15, 16, 18, 21) описують динаміку змінення параметрів зерна і сушильного агента на виході сушарки безперервної дії з урахуванням їх взаємозв'язку.

На рис. 1–4 зображені графічні залежності зміни параметрів зерна і теплоносія на виході із зерносушарки отримані за залежностями (15, 16, 18, 21).



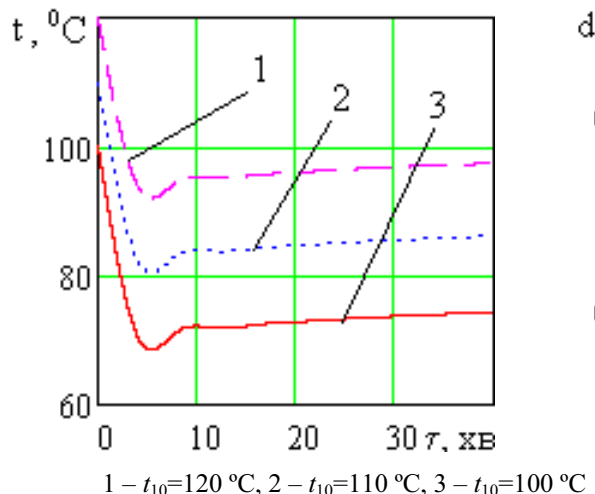
1 –  $t_{10}=120$  °C, 2 –  $t_{10}=110$  °C, 3 –  $t_{10}=100$  °C

Рисунок 1 – Динаміка зміни температури зерна



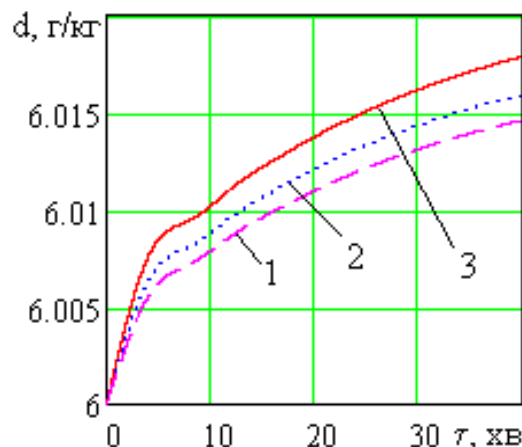
1 –  $t_{10}=120$  °C, 2 –  $t_{10}=110$  °C, 3 –  $t_{10}=100$  °C

Рисунок 2 – Динаміка зміни вологості зерна



1 –  $t_{10}=120$  °C, 2 –  $t_{10}=110$  °C, 3 –  $t_{10}=100$  °C

Рисунок 3 – Динаміка зміни температури теплоносія



1 –  $t_{10}=120$  °C, 2 –  $t_{10}=110$  °C, 3 –  $t_{10}=100$  °C

Рисунок 4 – Динаміка зміни вологовмісту теплоносія

**Висновки.** Встановлені основні закономірності зміни вологості і температури зерна і сушильного агента в процесі сушіння, які можна використовувати для синтезу систем керування, що забезпечуватимуть оптимальне управління процесом сушіння зерна.

## Список літератури

1. Мартиненко И.И. Автоматизация управления температурно-влажностными режимами сельскохозяйственных объектов / Мартиненко И.И., Гирнык Н.Л., Полищук В.М. – М.: Колос. 1984. – 152 с.
2. Мильман Н.Э. Математическое описание процесса сушки в шахтных зерносушилках / Н.Э. Мильман // Механизация и электрификация социалистического сельского хозяйства. – 1967. – №9. - С. 31–35
3. Питухин Е.А. Математическая модель управления качеством роботы сушильной установки барабанного типа / Е.А. Питухин // Труды Петрозаводского государственного университета серия «Прикладная математика и информатика». – 1997. – Вып. 6. – С. 1–6.
4. Рабинович Г.Д. Расчет теплообменного аппарата типа «газовзвесь» / Г.Д. Рабинович // Тепло- и массообмен в сушильных и термических процессах. – Минск, 1968. – С. 164–185
5. Котов Б.І. Нагрівання зерна в протитечійному режимі із штучним гальмуванням гравітаційного руху / Котов Б.І., Кіфяк В.В., Лісецький В.О. // Науковий вісник Ніжинського агротехнічного інституту. – 2009, – С. 199–204.
6. Лісецький В.О. Підвищення ефективності сушіння зерна в сушарках періодичної дії: автореф. дис. на здобуття наук. ступеня канд. техн. наук: спец. 05.05.11 “Машини і засоби механізації сільськогосподарського виробництва”/ В.О. Лісецький; УААН. Нац. наук. центр "Ін-т механізації та електрифікації сіл. госп-ва". – Глеваха, 2004. – 23 с.

*Б. Котов, Р. Калиниченко, М. Липунов*

**Аналитическое определение динамических тепловлажностных режимов зерносушилок непрерывного действия**

Получены аналитические зависимости для определения параметров процесса сушки на выходе зерносушилки

*B. Kotov, R. Kalinichenko, M. Lipunov*

**Analytical dependences for determining the parameters of the drying process at the output of grain dryers**

Analytical dependences to determine the parameters of the drying process at the output of the dryer.

Одержано 10.06.12